



Fish Of Natural Radioactivity In Some Samples Of Determination From Selected Regions In Iraq .

Rehab Raad Daood

Rasheed Mahmood yousif

**University of Mosul / College of education for pure sciences 1
University of Mosul / College of environment and its techniques 2**

Abstract:

this research, using solid state nuclear track detectors (SSNTD) type (CR -39) to determined radon (^{222}Rn), radium (^{226}Ra) and uranium (^{238}U) concentrations in samples for local and imported fish collected from selected regions of Iraq . The result show that the less concentration of those nuclei in fish sample of Duhok governorates ranges between (198.208 – 340.917) Bq/m^3 , (0.03404 – 0.07507) Bq/kg , (0.02724 – 0.06291) ppm with mean values 250.4675 Bq/m^3 , 0.05439 Bq/kg and 0.049765 ppm respectively .and the highest concentration in fish sample of Basrah governorates ranges between (451.914335 – 1014.825175) Bq/m^3 , (0.07762665 – 0.18158282) Bq/kg , (0.065054 – 0.15217497) ppm with mean values 756.36182 Bq/m^3 , 0.1518944 Bq/kg and 0.1272947 ppm respectively .and the levels of concentration above nuclide lower than the permissible limits recommended by ICRP therefor the fish are radioactive safe as human food .

Key words: radioactivity, nuclear trace detectors, fish, uranium.

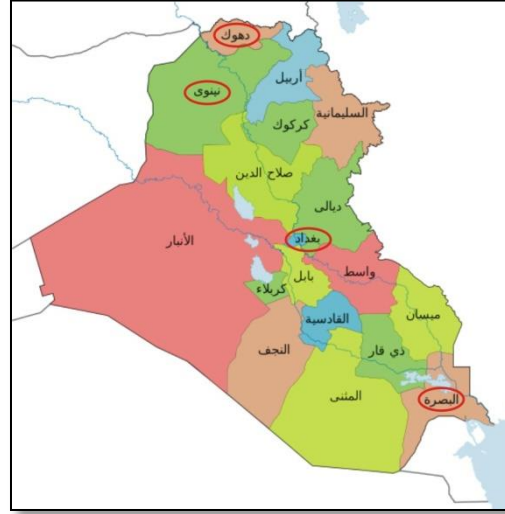
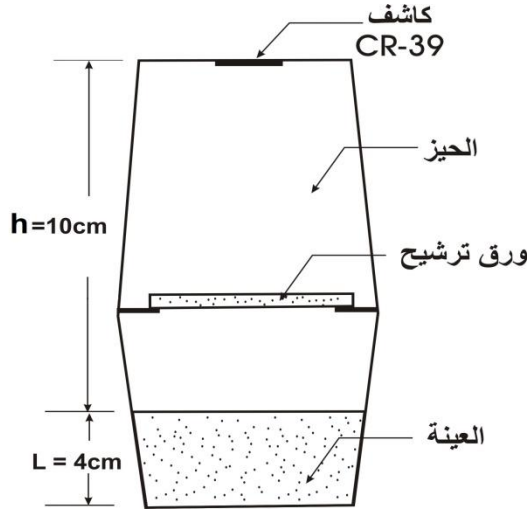
المقدمة :

الإشعاع جزء من البيئة التي نعيش فيها , ينتج النشاط الإشعاعي الطبيعي من جزيئات الأشعة الكونية التي تسقط على الغلاف الجوي وكذلك من النويدات المشعة الموجودة في القشرة الأرضية [1] . يتعرض الإنسان لمصادر الإشعاع الطبيعي حيث يمثل غاز الرادون المساهم الرئيسي للجرعة الإشعاعية المستلمة حيث تشكل مساهمة الرادون ووليداته حوالي نصف الجرعة السنوية الفعالة من جميع المصادر الطبيعية . عنصر الرادون هو غاز خامل مشع ويوجد في أماكن عدة و بنسب مختلفة [2] . والرادون يمثل ولائد نظير الراديوم المشع ^{226}Ra (1600 year) والمنبعث من سلسلة الانحلال الطبيعي لنظير اليورانيوم ^{238}U (4.47×10^9 y) [3] . الراديوم عنصر مشع صلب في الظروف الطبيعية من ضغط ودرجة حرارة وهو مصدر مهم للنشاط الإشعاعي في مجموعة متنوعة من المواد الغذائية فعندما يتم ابتلاع الراديوم مع الطعام فإنه يتركز في العظم [4] . اليورانيوم عنصر مشع من المعادن الثقيلة بعد ابتلاعه يميل إلى التراكم في الجسم حيث يظهر بسرعة في الدورة الدموية إذ أنه يرتبط مع خلايا الدم الحمراء وعند خروج اليورانيوم من مجرى الدم يتركز بعد ذلك في الكلية والهيكل العظمي وبكميات أقل في الكبد [5] . تختلف مستويات النويدات المشعة في الأغذية بالاعتماد على عدة عوامل منها نوع الغذاء والمنطقة الجغرافية حيث يتم إنتاجها . ان الرادون ينبعث باستمرار من التربة وتنتقل هذه النوى المشعة إلى الماء من خلال عمليات التآكل والذوبان في المياه الجوفية والسطحية [6] . تعد سلسلة الغذاء من المسارات الهامة والحرارة في سرعة انتقال الملوثات الإشعاعية حيث تتلوث مجاميع مختلفة من الأحياء فيها وتزداد نسبة المواد المشعة بها كالنباتات والحيوانات [7] . تمتص العناصر المشعة أعلاه بواسطة الأسماك وعادة ما تحدث بطريقتين : اختراق العناصر من خلال الخياشيم أو الجلد والابتلاع الطعام أو الماء كما ان معظم تلك العناصر تتركز طبيعياً في العديد من الأسماك ويعتمد ذلك على معدل تركيز المواد المشعة فيها ومنسوب التلوث الإشعاعي ونوع وطبيعة تغذية الأسماك [8] . ان دخول المواد المشعة إلى الجسم وتراكمها في أنسجته يؤثر على التركيب الجيني للإنسان والحيوان ويؤدي إلى العديد من الأمراض وخاصة السرطان [9] . حيث أثبتت الدراسات ان التعرض لغاز الرادون مسبب لسرطان الرئة بينما تراكم الراديوم يؤدي إلى الإصابة بسرطان العظام [10] . ان الهدف من هذه الدراسة هو قياس تراكيز بعض العناصر المشعة وهي الرادون (^{222}Rn) ، الراديوم (^{226}Ra) ، واليورانيوم (^{238}U) في عينات الأسماك التي تم جمعها من مدن عراقية مختارة وباستخدام تقنية كاشف الاثر النووي نوع CR-39 .

المواد وطرق العمل :

تم جمع اثنان وعشرون عينة من الاسماك المحلية والمستوردة من اربعة محافظات عراقية وهي دھوك ،الموصل (شمال العراق)،بغداد (وسط العراق) والبصرة (جنوب العراق)والتي تضمنت خمسة انواع شائعة من اسماك الانهار العراقية وبكتل تتراوح بين (1-2)Kg وتم رفع العظام والقشور والاحشاء للحصول على الانسجة فقط وجففت عند درجة حرارة $^{\circ}\text{C}$ (80-85) لعدة ساعات ثم طحنت وغرلت للحصول على مسحوق ناعم متجانس [11] .

استخدم الكاشف CR-39 كتقنية للكشف عن الاشعاع بسمك (1mm) وبمساحة ($1 \times 1 \text{ cm}^2$) لتسجيل آثار جسيمات الفا الساقطة عليه والمنبعثة من غاز الرادون الصادر من العينات . وضعت عينات الاسماك في حجرات التشعيع الاسطوانية الشكل أقطارها 5.3cm وتم احكام غلق الحجرات المذكورة وبعدها تركت لمدة 22 يوم للوصول الى % 98 حالة التوازن المثالي (القرني) (Secular equilibrium) بين الراديوم ونواتج انحلاله من نظائر الرادون [12] . بعد الوصول الى حالة التوازن يرفع الغطاء بسرعة للحيلولة من تسرب الغاز الى الخارج ويستبدل بحجرة اخرى ثبت الكاشف في الجزء العلوي منها مع وضع ورقة ترشيح في الجزء السفلي واغلاقها بشكل محكم كما الشكل (1) حيث يكون سمك عينات الاسماك في منظومة التشعيع 4 cm والمسافة بين سطح العينة والكاشف 10 cm . اغلقت المنظومة مدة 60 يوم وبعد الانتهاء من عملية التشعيع يتم رفع قطعة الكاشف لتهيئتها لعملية القشط الكيميائي لإظهار الاثار المتكونة باستخدام محلول هيدروكسيد NaOH بنقاوة تصل % 99 وبيارية مقدارها N 6.25 المتكونة من اذابة 25 gm من بلورات هيدروكسيد الصوديوم الصلبة في 100 ml من الماء المقطر . تتم عملية القشط بغمر الكواشف في المحلول القاشط ووضعها مائي بدرجة حرارة $^{\circ}\text{C}$ 70 لفترة زمنية تبلغ خمسة ساعات اذ ترفع قطع الكواشف من المحلول وتغسل بالماء المقطر وتجفف [11] . بعد ذلك تتم عملية احتساب اثار جسيمات الفا على سطح الكاشف باستخدام المجهر الضوئي ايطالي الصنع وبقوة تكبير X 400 ، كذلك تم قياس الخلفية الاشعاعية للكواشف المستخدمة وكانت $122 \text{ Tr} / \text{cm}^2$ تم طرحها للحصول على الكثافة الفعلية لآثار جسيمات الفا المنبعثة من العينات . كررت عملية عد الاثار في الكاشف ثلاث مرات لكل نموذج لحساب معدل عد الاثار لوحدة المساحة .



الشكل (1) منظومة حجرة الانتشار

الشكل (2) خارطة العراق موضحاً فيها مناطق اخذ

ولغرد العينات

الانتشار يعتمد على الابعاد الهندسية لحجرة التشعيع (الانتشار) . ويتم قياس ثابت الانتشار K للمنظومة المستخدمة من العلاقات التالية [12] :

$$\rho = k C_{Rna} T \quad \dots\dots\dots (1)$$

إذ أن ρ (Track /cm²) كثافة الآثار و K ثابت الانتشار و C_{Rna} تركيز الرادون في الحيز الهوائي Bq/m³ و T زمن التشعيع

إن معدل كثافة الآثار D_{av} بوحدهات (Track. cm⁻² . d⁻¹) يساوي

$$D_{av} = \frac{\rho}{T} = K C_{Rna} \quad \dots\dots\dots (2)$$



ومن الممكن حساب ثابت الانتشار K لحجرة الانتشار اعتمادا على الابعاد الهندسية للمنظومة [13]

$$K = \frac{1}{4} r(2 \cos \theta c - r / R_{\alpha}) \quad \dots \quad (3)$$

اذ تم تمثّل R نصف قطر الحجرة المستخدمة وتساوي cm (2.65) ، θc الزاوية الحرجة للكاشف التي تساوي

R_{α} ، [14] (35°) ، مدى جسيمات ألفا في الهواء الناتجة عن انحلال (^{222}Rn) الذي يساوي (4. 15cm) كما في

المعادلة :

$$R_{\alpha} = (0.005E_{\alpha} + 0.285) E_{\alpha}^{3/2} \quad \dots \quad (4)$$

وعند التعويض القيم في المعادلة (3) نجد أن قيمة ثابت الانتشار (K) بوحدات الطول تساوي (K=0.66233 cm) أو ($K=0.0572 \text{ Tr. cm}^{-2} \cdot \text{d}^{-1} / \text{Bq. m}^{-3}$)

ويمكن حساب تركيز النشاط الإشعاعي للرادون في العينات C_{Rns} باستخدام العلاقة الآتية [15] :

$$C_{\text{Rns}} = \lambda_{\text{Rn}} C_{\text{Rna}} h \text{ T/L} \quad \dots \quad (5)$$

أن:

C_{Rns} تركيز الرادون داخل العينات Bq/m^3 .

λ_{Rn} ثابت انحلال الرادون ويساوي 0.1814 d^{-1} .

h ارتفاع الحيز الهوائي ويساوي (10 cm) .



L سمك العينة ويساوي (4cm) .

T زمن التشعيع ويساوي (60) يوماً .

كما يمكن إيجاد النشاط الإشعاعي للرادون الناتج من العينات بوحدات Bq وذلك باستخدام العلاقات الآتية [15]:

$$A_{Rns} = C_{Rns} V_s \quad \dots\dots\dots (6)$$

$$V_s = \pi r^2 L \quad \dots\dots\dots (7)$$

حيث V_s يمثل حجم العينة ($84.905 \times 10^{-6} \text{ m}^3$)

و لحساب تركيز اليورانيوم في العينة لابد من ايجاد عدد ذرات غاز الرادون N_{Rn} من العلاقة

$$A_{Rn} = \lambda_{Rn} \cdot N_{Rn} \quad \dots\dots\dots (8)$$

واعتماداً إلى علاقة التوازن الإشعاعي [16]

$$\lambda_{Rn} N_{Rn} = \lambda_U N_U \quad \dots\dots\dots (9)$$

λ_{Rn} : ثابت انحلال الرادون ويساوي $2.1 \times 10^{-6} \text{ S}^{-1}$

λ_U : ثابت انحلال اليورانيوم ويساوي $4.9 \times 10^{-18} \text{ S}^{-1}$



أما وزن اليورانيوم في العينات W_U (gm) فيمكن حسابه من المعادلة :

$$W_U = \frac{N_U A_U}{N_{av}} \quad \dots\dots\dots (10)$$

حيث أن:

A_U : العدد الكتلي لليورانيوم ويساوي 238.

N_{av} : عدد افوكادرو $6.02 \times 10^{23} \text{ mol}^{-1}$

ولحساب تركيز اليورانيوم C_U في العينات بوحدة (ppm) تستخدم العلاقة :

$$C_u (\text{ppm}) = W_u / W_s \quad \dots\dots\dots (11)$$

حيث أن W_s وزن العينة ، W_u وزن اليورانيوم .

لإيجاد تركيز الراديوم C_{Ra} في العينات بوحدة (Bq/kg) تستخدم العلاقات الآتية [17][18] :

$$C_{RaA} = \frac{\rho h a}{k T_e w_s} \quad \dots\dots\dots (12)$$

a المساحة السطحية للعينة (m^2) .

T_e زمن التعرض الفعال وهو الزمن الحقيقي لانتشار الرادون داخل الأنبوبة ويعطى بالعلاقة الآتية:

$$T_e = T - \lambda_{Rn}^{-1} (1 - e^{-\lambda_{Rn} T}) \quad \dots\dots\dots (13)$$

إذ يمثل T زمن التشعيع الكلي ويساوي 60 يوما .

النتائج والمناقشة :

نتائج تراكيز كل من الرادون ^{222}Rn والراديوم ^{226}Ra واليورانيوم ^{238}U لعينات الاسماك من محافظة دهوك والموضحة في الجدول رقم (1) حيث ان اعلى قيمة لتراكيز تلك النوى المشعة في عينة *Barbus grybus* وهي $340.917 \text{ Bq} / \text{m}^3$ ، $0.07507 \text{ Bq} / \text{Kg}$ ، 0.062911 ppm على الترتيب و اقل قيمة للتراكيز في عينة *Cyprinus carpio* وهي $198.208 \text{ Bq} / \text{m}^3$ ، $0.03404 \text{ Bq} / \text{kg}$ ، 0.027249 ppm على الترتيب ، اما عينات الاسماك من محافظة نينوى والموضحة في جدول رقم (2) فوجد ان اعلى قيمة للتراكيز في عينة *Barbus grybus* وهي $539.1258 \text{ Bq} / \text{m}^3$ ، $0.0907914 \text{ Bq} / \text{kg}$ ، 0.0760874 ppm على الترتيب و اقل قيمة للتراكيز في عينة *Silurus triostegus* وهي $301.27622 / \text{m}^3 \text{ Bq}$ ، $0.060175 \text{ Bq} / \text{kg}$ ، 0.0570656 ppm على الترتيب ، وفي الجدول رقم (3) لعينات الاسماك من محافظة بغداد وجد ايضا ان اعلى قيمة للتراكيز في عينة *Barbus sharpeyi* وهي $721.4772 \text{ Bq} / \text{m}^3$ ، $0.1721253 \text{ Bq} / \text{kg}$ ، 0.1442491 ppm على الترتيب و اقل قيمة للتراكيز في عينة *Silurus triostegus* وهي $404.3444 \text{ Bq} / \text{m}^3$ ، $0.057879 \text{ Bq} / \text{kg}$ ، 0.0485057 ppm على الترتيب ، اما عينات اسماك محافظة البصرة والموضحة في الجدول (4) وجد ان اعلى قيمة للتراكيز في عينة *Barbus grybus* وهي $1014.825175 \text{ Bq} / \text{m}^3$ ، 0.18158282 kg ، 0.15217492 ppm على الترتيب و اقل قيمة للتراكيز في عينة *Barbus xanthopterus* وهي $451.914335 \text{ Bq} / \text{m}^3$ ، $0.0776266 \text{ Bq} / \text{kg}$ ، 0.06505 ppm ، وفي الجدول رقم (5) لعينات الاسماك المستوردة وجد ان اعلى قيمة للتراكيز في عينة *Oreochromis* وهي $689.76398 \text{ Bq} / \text{m}^3$ ، $0.1877173 \text{ Bq} / \text{kg}$ ، 0.13418131 ppm على الترتيب . ان هذه الزيادة في تراكيز العناصر المشعة تعود الى اختلاف البيئات لعينات الاسماك المدروسة في العمل الحالي .

الاستنتاجات :

اشارت النتائج الى ان متوسط قيم تراكيز الرادون ،الراديوم واليورانيوم في نماذج الاسماك في منطقة جنوب العراق (البصرة) اعلى من تلك التي في المناطق الاخرى ويعود السبب الى ان محافظة البصرة تعرضت لمستويات عالية من الملوثات الاشعاعية اثناء الحروب ولم يتم حصر الاماكن الملوثة او عزلها لوقف وتجنب انتشار هذا التلوث الاشعاعي الى البيئة ، اما الزيادة بالنسبة للاسماك المستوردة فيعزى السبب الى نوع التغذية والبيئة الجيولوجية لتلك الاسماك .



الجدول رقم (1) : كثافة الاثار ، تركيز الرادون في الحيز الهوائي ، تركيزه في العينات ، فاعلية الرادون ، تركيز كل من اليورانيوم والراديوم لعينات الاسماك في محافظة دهوك

رمز العينة	اسم العينة	الاسم العلمي للاسماك	$\rho(\frac{trac}{cm^2})$	$C_{Rna}(\frac{Bq}{m^3})$	$C_{Rns}(\frac{Bq}{m^3})$	$A_{Rns}(Bq)$	$C_U(PPM)$	$C_{Ra}(\frac{Bq}{kg})$
1	جري	Silurus triostegus	32	9.32400	253.370	0.02255	0.044539±0.00783	0.05314 ± 0.00939
2	شبوط	Barbus grybus	43	12.5291	340.917	0.03030	0.062911±0.00959	0.07507±0.0114
3	سمتي	Cyprinus carpio	25	7.28438	198.208	0.01682	0.027249±0.00544	0.03404±0.0068
4	بني	Barbus sharpeyi	31	9.032634	245.7779	0.02185	0.057063±0.0102	0.05863±0.0091
5	كطان	Barbus xanthopterus	27	7.867132	214.0646	0.01903	0.057065±0.0109	0.05107±0.0098
	المعدل			9.2074492	250.4675	0.02211	0.0497654	0.05439

الجدول رقم (2) : كثافة الاثار ، تركيز الرادون في الحيز الهوائي ، تركيزه في العينات ، فاعلية الرادون ، تركيز كل من اليورانيوم والراديوم لعينات اسماك محافظة نينوى

رمز العينة	اسم العينة	الاسم العلمي للاسماك	$\rho(\frac{trac}{cm^2})$	$C_{Rna}(\frac{Bq}{m^3})$	$C_{Rns}(\frac{Bq}{m^3})$	$A_{Rns}(Bq)$	$C_U(PPM)$	$C_{Ra}(\frac{Bq}{kg})$
1	جري	Silurus triostegus	38	11.072261	301.27622	0.026784	0.057065±0.00925	0.060175±0.0097
2	شبوط	Barbus grybus	68	19.813519	539.12581	0.047930	0.076087±0.00922	0.090791±0.011
3	سمتي	Cyprinus carpio	41	11.946386	325.06118	0.028899	0.066848±0.01043	0.079766±0.012
4	بني	Barbus sharpeyi	63	18.356643	499.48426	0.044406	0.087686±0.01104	0.104631±0.013
5	كطان	Barbus xanthopterus	49	14.277389	388.48776	0.034538	0.093207±0.013315	0.111219±0.015
	المعدل			15.09324	410.68705	0.0365114	0.0761786	0.0893164

الجدول رقم (3) : كثافة الاثار ، تركيز الرادون في الحيز الهوائي ، تركيزه في العينات ، فاعلية الرادون ، تركيز كل من اليورانيوم والراديوم لعينات الاسماك في محافظة بغداد



$C_{Ra} (\frac{Bq}{kg})$	C_U (PPM)	A_{Rns} (Bq)	$C_{Rns} (\frac{Bq}{m^3})$	$C_{Rna} (\frac{Bq}{m^3})$	$\rho (\frac{trac}{cm^2})$	الاسم العلمي للأسماك	اسم العينة	رمز العينة
0.057879±0.0081	0.0485057±0.0067	0.0359482	404.3444	14.860139	51	Silurus triostegus	جري	1
0.113925±0.0122	0.0954751±0.01023	0.0613234	689.7639	25.349650	87	Barbus grybus	شبوط	2
0.089980±0.0104	0.0754080±0.00876	0.0521601	586.6958	21.561771	74	Cyprinus carpio	سمتي	3
0.172125±0.018	0.1442491±0.01512	0.0641429	721.4772	26.515151	91	Barbus sharpeyi	بني	4
0.090223±0.0123	0.0756119±0.01038	0.0373579	420.2010	15.442804	53	Barbus xanthopterus	كطان	5
0.1048264	0.08785	0.0501865	564.49646	20.745903		المعدل		

الجدول رقم (4) : كثافة الاثار ، تركيز الرادون في الحيز الهوائي ، تركيزه في العينات ، فاعلية الرادون ، تركيز كل من اليورانيوم والراديوم لعينات الاسماك في محافظة البصرة

$C_{Ra} (\frac{Bq}{kg})$	C_U (PPM)	A_{Rns} (Bq)	$C_{Rns} (\frac{Bq}{m^3})$	$C_{Rna} (\frac{Bq}{m^3})$	$\rho (\frac{trac}{cm^2})$	الاسم العلمي للأسماك	اسم العينة	رمز العينة
0.1444912±0.0154	0.1210904±0.0129	0.0613234	689.7639	25.34965	87	Silurus triostegus	جري	1
0.1815828±0.0160	0.1521749±0.0134	0.0902230	1014.825	37.29603	128	Barbus grybus	شبوط	2
0.1439250±0.0149	0.1206159±0.0125	0.0655526	737.3339	27.09790	93	Cyprinus carpio	سمتي	3
0.2118466±0.020	0.1775374±0.0167	0.0789445	887.9720	32.63403	112	Barbus sharpeyi	بني	4
0.0776266±0.0102	0.0650548±0.0086	0.0401774	451.9143	16.60839	57	Barbus xanthopterus	كطان	5
0.1518944	0.1272947	0.0672442	756.3618	27.7972		المعدل		

الجدول رقم (5) : كثافة الاثار ، تركيز الرادون في الحيز الهوائي ، تركيزه في العينات ، فاعلية الرادون ، تركيز كل من اليورانيوم والراديوم لعينات الاسماك المستوردة

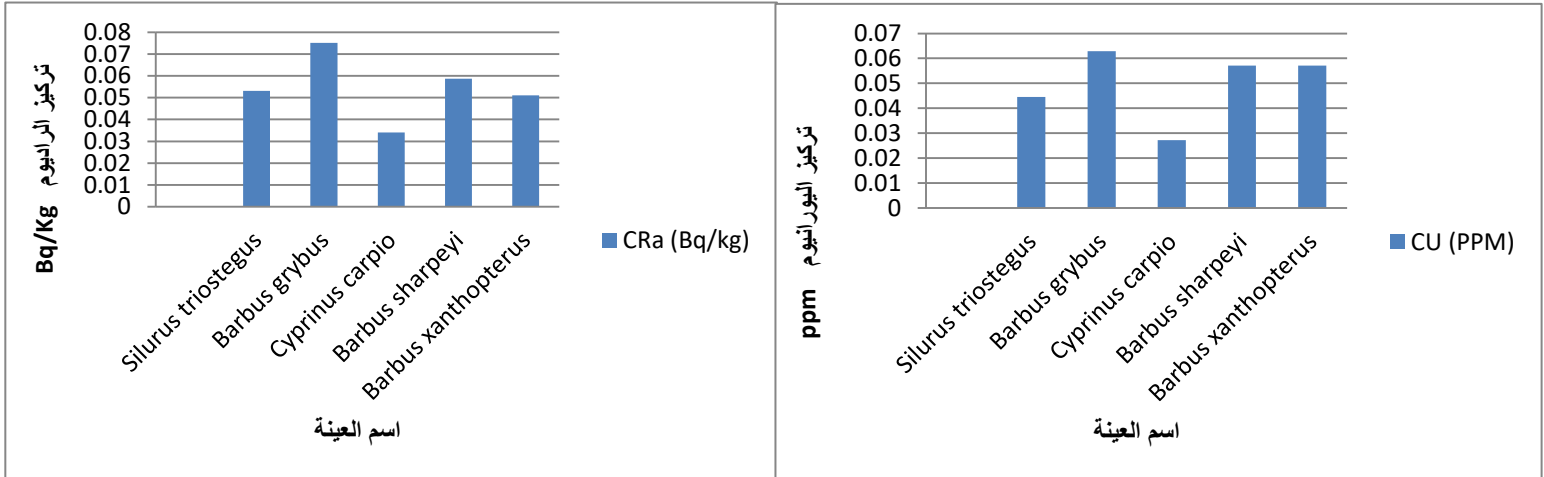
$C_{Ra} (\frac{Bq}{kg})$	C_U (PPM)	A_{Rns} (Bq)	$C_{Rns} (\frac{Bq}{m^3})$	$C_{Rna} (\frac{Bq}{m^3})$	$\rho (\frac{trac}{cm^2})$	الاسم العلمي للأسماك	اسم العينة	رمز العينة
--------------------------	-------------	----------------	----------------------------	----------------------------	----------------------------	----------------------	------------	------------



0.1877173±0.0201	0.1341813±0.0143	0.0613234	689.76398	25.349650	87	Oreochromis	بلطي اسود	1
0.1467533±0.0131	0.1229862±0.0110	0.0881808	991.04020	36.421911	125	Clarias macrocepholus	سلور نهري	2
0.1672353	0.1285838	0.0747521	840.40209	30.885781			المعدل	

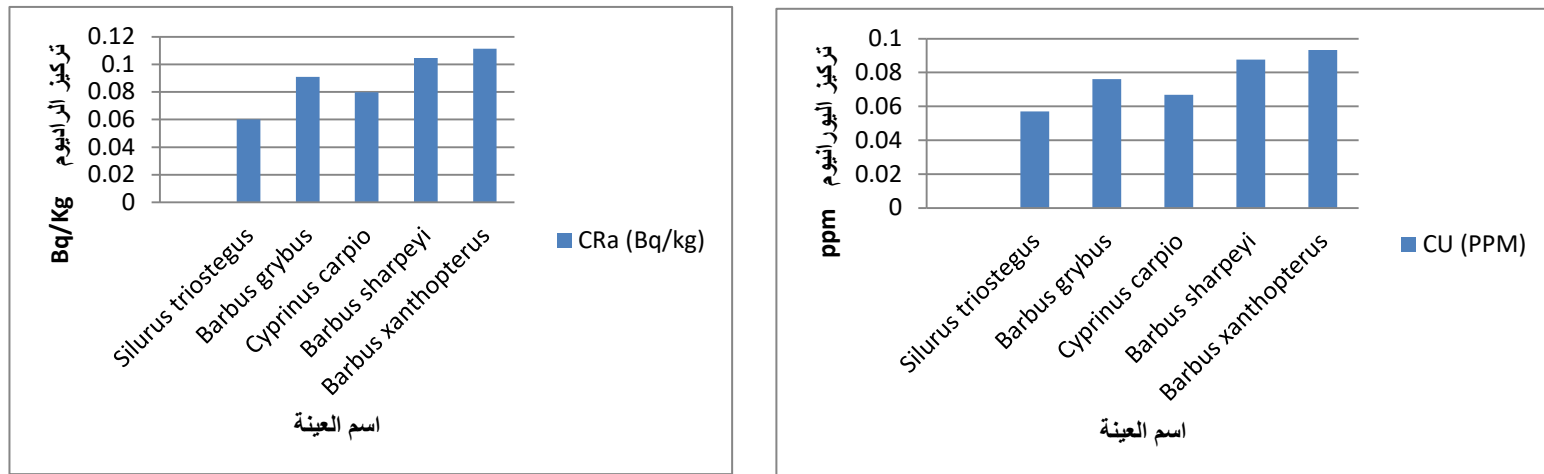
الجدول رقم (6) : المقارنة مع البيانات المنشورة في دول مختلفة .

المصدر	C _{Ra}	C _U	البلد
2017 ref (8)	0.082-0.400	0.104-0.510	العراق/كربلاء
2018 ref (19)	-	0.017-0.115	العراق/البصرة
2014 ref (20)	-	0.002-0.66	الهند
2014 ref (21)	-	0.57	تركيا
2009 ref (22)	0.19	0.05	البرازيل
1997 ref (23)	0.005	0.018	الصين
2010 ref (24)	1.0	1.3	باكستان
2003 ref (25)	-	0.49	عمان
2011 ref (26)	1.860	-	نيجيريا
الدراسة الحالية	0.100107	0.085272	العراق



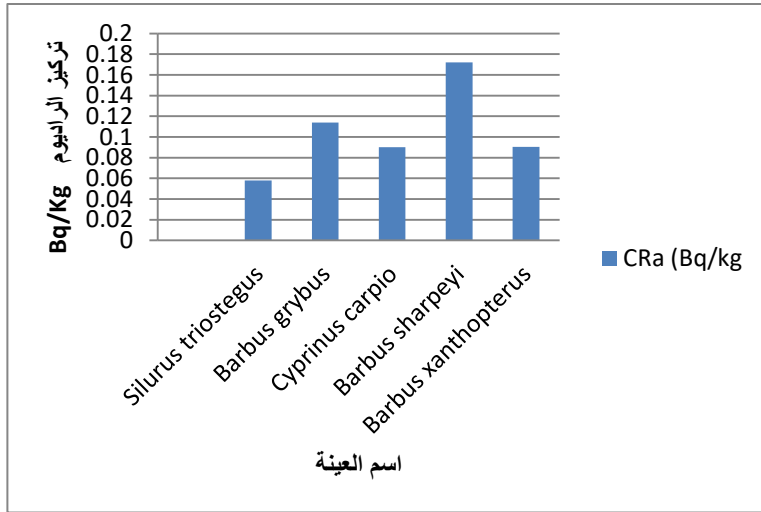
شكل (4) تركيز الراديوم في عينات اسماك دهوك

شكل (3) تركيز اليورانيوم في عينات اسماك دهوك

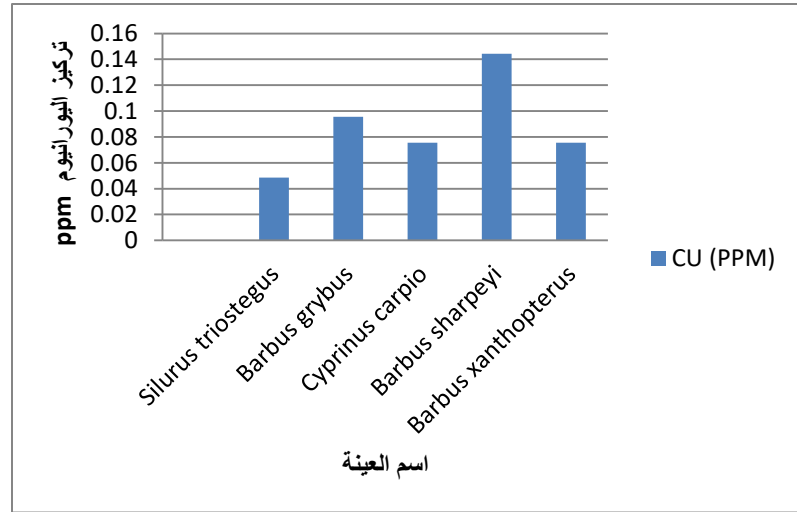


شكل (6) تركيز الراديوم في عينات اسماك نينوى

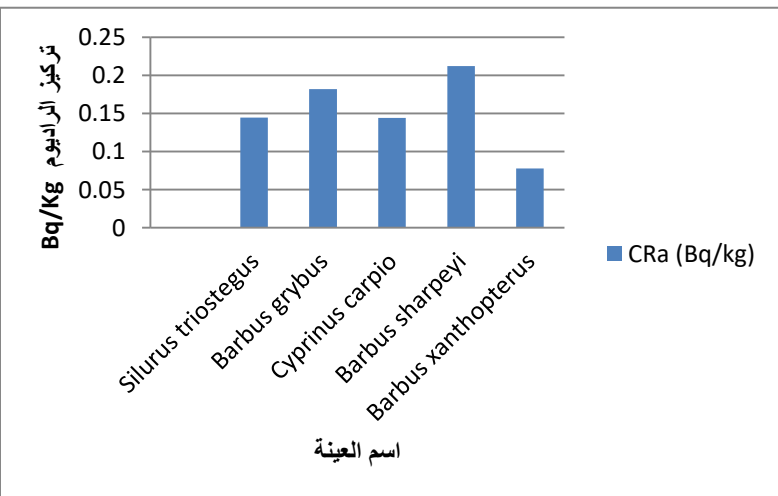
شكل (5) تركيز اليورانيوم في عينات اسماك نينوى



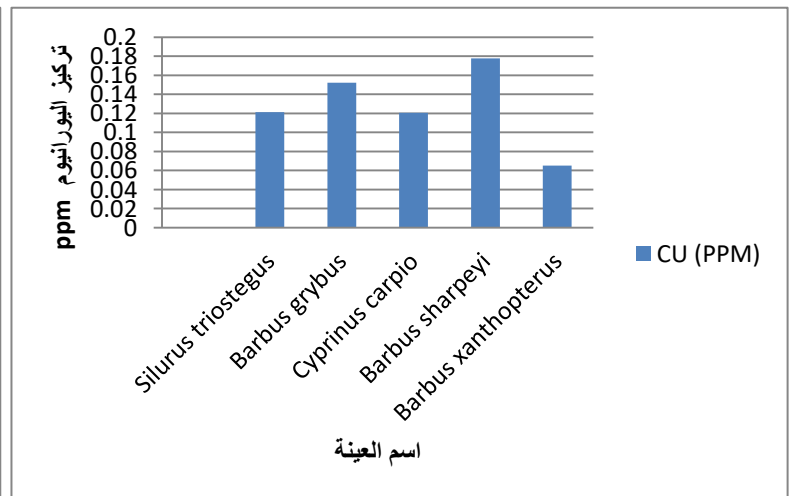
شكل (8) تركيز الراديوم في عينات اسماك بغداد



شكل (7) تركيز اليورانيوم في عينات اسماك بغداد



شكل (10) تركيز الراديوم في عينات اسماك البصرة



شكل (9) تركيز اليورانيوم في عينات اسماك البصرة

المصادر :



1. Mudd, G. M. (2008). Radon releases from Australian uranium mining and milling projects: assessing the UNSCEAR approach. *Journal of environmental radioactivity*, 99(2), 288-315.
- 2 . R. M. Yousuf, M. M. Husain and L. A. Najam, (2009): Measurement of Radon -222 Concentration Levels in Spring Water in Iraq. *Jordan Journal of Physics*, 2(2): 89-93.
- 3 . A. K. Farhood, *Adv. Appl. Sci. Res.*, vol. 6, no. 12, pp. 131–143, 2015.
4. Hashim,A.K.&Najam, L.A.(2015).Radium and uranium concentrations measurements in vegetables samples of Iraq. *Detection*, 3(04), 21
- 5 . WHO;2008, "Uranium in Drinking-water" World Health Organization WHO/ SDE/ WSH/03.04/118.
- 6 . Yamada, Y. (2003). Radon exposure and its health effects. *Journal of health science*, 49(6), 417-422.
- 7 . Barillon, R., Klein, D., Chambaudet, A., & Devillard, C. (1993). Comparison of effectiveness of three radon detectors (LR115, CR39 and silicon diode pin) placed in a cylindrical device-theory and experimental techniques. *Nuclear Tracks and Radiation Measurements*, 22(1-4), 281-282.
- 8 . Jasim Musa, H. (2017). Measurement of 222Rn, 226Ra and 238U Concentrations In Some Fish of Karbala Governorate, Iraq. *journal of kerbala university*, 13(2), 7-13.
- 9 . Jacomino, V. F., Bellintani, S. A., Oliveira, J., Mazzilli, B. P., Fields, D. E., Sampa, M. H., & Silva, B. (1996). Estimates of cancer mortality due to the ingestion of mineral spring waters from a highly natural radioactive region of Brazil. *Journal of environmental radioactivity*, 33(3), 319-329.
- 10 . Darby, S., Whitley, E., Silcocks, P., Thakrar, B., Green, M., Lomas, P., ... & Doll, R. (1998). Risk of lung cancer associated with residential radon exposure in south-west England: a case-control study. *British Journal of cancer*, 78(3), 394-408.



ICRP, International Commission on Radiation Protection , "Radionuclide Release into the Environment, Pergamum press , Oxford and new york,(1987).

11. الامام ، عاصمة محمود مصطفى (2012). قياس تراكيز ^{210}Po , ^{238}U , ^{222}Rn , ^{226}Ra , ^{40}K في بعض المواد الغذائية لبعض محافظات العراق ، اطروحة دكتوراه ، كلية التربية جامعة الموصل .

12 . Azam A. , Naqui A. , Srivatava D. (1995) Radium concentration and Radon exhalation measurement using LR-115 Type II plastic track detectors , nucl. Geophys. 9, 6, pp 653-657.

13 . Barillon, R., Klein, D., Chambaudet, A., Membrey, F., & Fromm, M. (1991). Additional uses of polymeric nuclear track detectors (CR 39 and LR 115) for measuring radon emanation. International Journal of Radiation Applications and Instrumentation. Part D. Nuclear Tracks and Radiation Measurements, 19(1-4), 291-296.

14 . Durrani, S.A.; Bull, R.K. (1987). "Solid State Nuclear Track Detection". Pergamon Press. Oxford. Excel-based Program for calculating Atmospheric Cosmic-ray Spectrum (EXPACS ver. 2.27), (2006). Japan Atomic Energy Agency, <http://phits.jaea.go.jp/expacs>.

15 . Al-Bataina, B. A., Ismail, A. M., Kullab, M. K., Abumurad, K. M., & Mustafa, H. (1997). Radon measurements in different types of natural waters in Jordan. Radiation Measurements, 28(1-6), 591-594.

16 . خليل ، منيب عادل(1994) . الفيزياء النووية ، دار الكتب للطباعة و النشر ، جامعة الموصل .

17 . Khan M.S. ,Naqvi A.H.,Azam A., Srivastava D.S,(2011) Radium and radon exhalation studies of soil ,Iran J.Radiay .Res ,8(4) :207-210 .



18 . Singh B.P.,Pandir B.,Bhardwaj V.N.,Singh P.,and Kumar R.,(2010) Study of radium and radon exhalation rate in some solid samples using solid state nuclear track detectors ,Indian Journal of Pure Applied physics ,48:493-495

19. حسن ، عبد الرحمن فالح ، 2018 . "قياس الجرعة الإشعاعية البيئية لمواد غذائية متنوعة في البصرة / العراق باستخدام تقنيات مختلفة" . اطروحة دكتوراه ،كلية التربية للعلوم الصرفة ،جامعة البصرة .

20. Patra, A. C., Mohapatra, S., Sahoo, S. K., Lenka, P., Dubey, J. S., Thakur, V. K., ... & Tripathi, R. M. (2014). Assessment of ingestion dose due to radioactivity in selected food matrices and water near Vizag, India. *Journal of Radioanalytical and Nuclear Chemistry*, 300(3), 903-910.

21. Erenturk, S., Yusan, S., Turkozu, D. A., Camtakan, Z., Olgen, M. K., Aslani, M. A., ... & Isik, M. A. (2014). Spatial distribution and risk assessment of radioactivity and heavy metal levels of sediment, surface water and fish samples from Lake Van, Turkey. *Journal of Radioanalytical and Nuclear Chemistry*, 300(3), 919-931.

22. Pereira Wagner de S., PyJúnior, D. de A. and Kelecom, A. (2009) Concentration Activities of Natural Radionuclides in Three Fish Species in Brazilian Coast and Their Contributions to the Absorbed Doses. International Nuclear Atlantic Conference, Rio de Janeiro, 27 September-2 October 2009.

23. Yu, K.N., Mao, S.Y., Young, E.C.M. and Stokes, M.J. (1997) A Study of Radioactivities in Six Types of Fish Consumed in Hong Kong. *Applied Radiation and Isotopes*, 48, 515-519.

[http://dx.doi.org/10.1016/S0969-8043\(96\)00283-7](http://dx.doi.org/10.1016/S0969-8043(96)00283-7)

24. Tahir, S. N. A., Alaamer, A. S., Ayub, M., & Khan, M. Z. (2010). Radiometric analysis of samples of domestic fish species and radiological implications. *Health physics*, 98(5), 741-744.



25. Goddard, C.C., Mathews, C.P. and Al Mamry, J. (2003) Baseline Radionuclide Concentrations in Omani Fish. *Marine Pollution Bulletin*, 46, 903-917.

[http://dx.doi.org/10.1016/S0025-326X\(03\)00105-X](http://dx.doi.org/10.1016/S0025-326X(03)00105-X)

26. Sowole, O. (2011) Dose Rates of Natural Radioactivities in Fishes from Rivers in Sagamu Ogun State Nigeria. *Canadian Journal of Pure Applied Science*, 5, 1729-1732.